



FOTO 53. Panorámica del valle de Cereceda donde se pueden apreciar los
glacis que cubren parcialmente las rocas precámblicas. (PI6-5)
NO ESTÁ SITUADO EN EL PLANO



RZ.9060 Paisaje granodiorítico en las proximidades de Conquista. Se ven en el suelo las estructuras producidas por las inundaciones de principios de Septiembre-89.



RZ.9061 Enclaves en la granodiorita. Obsérvese su forma
elongada, y la existencia de terminaciones adelgazadas.



RZ-9062. Enclaves en la granodiorita. Obsérvese su forma elongada, y la existencia de terminaciones adelgazadas.



RZ-9063. Enclaves en la granodiorita. Obsérvese su forma elongada, y la existencia de terminaciones adelgazadas.



RZ-9065.

Panorámica sobre el contacto entre el granito biotítico porfídico del Plutón de Mojábar y el encajante carbonífero (de la casa hacia la loma). En primer término la granodiorita.



RZ-9066. Enclaves muy aplanados en la granodiorita.



RZ-9067. Enclaves en granodiorita que muestran la misma orientación mineral que ella.



RZ-9068. Enclave en granodiorita con forma de pillow.



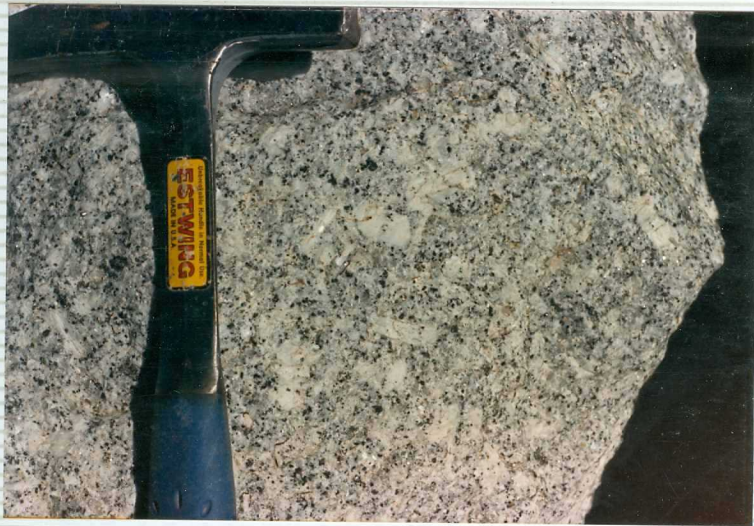
RZ-9069. Enclave anguloso en la granodiorita. En los alrededores
los hay redondeados. Puede ser del encajante.



RZ-9070. Contacto granodiorita (derecha)-granito (izquierda) con un dique aplítico en el medio. Pantano de Buenas Hierbas.



RZ-9071. Visu granodiorita; se ve una clara orientación mineral.



RZ-9072.

Visu granito biotítico con fenocristales de fesdespato potásico.



RZ-9074. Enclaves porfídicos en la granodiorita. Se ve en uno de ellos una vena granodiorítica cortándola.



RZ-9075. Enclave en granodiorita con contorno lobulado y terminación adelgazada.



RZ-9076. Enclave de encajante en granodiorita parcialmente transformado.



RZ-9077. Enclaves en granodiorita.



RZ-9078.- Doble enclave en la granodiorita.



RZ-9079.

Detalle de 9078.



RZ-9080. Enclave en granodiorita con terminación al delgazada.



RZ-9081. Típico aspecto de la granodiorita de los Pedroches en el sector de Venta de Azul.

RZ-9082. Paisaje granodiorítico al N de Azuel.





DQ-9228. Suelo coluvionar sobre las pizarras del Culm en el Valle del Río Pradillo.



DQ-9229. Alteración superficial del granito, los colores blancos corresponden a la zona meteorizada.



DQ-9230. Corte parcial de la raña. Facies Gm con imbricación de cantos.



DQ-9231. Socavamiento lateral del cauce del río Pradillo.



Foto 1-Px-9710 Vista panorámica del frente topográfico que originan las formaciones cuarcíticas del Paleozoico Inferior y la penillanura donde afloran las rocas del Carbonífero Inferior. La foto esta realizada en la ermita de San Gregorio, justo en el extremo occidental del mapa. De izquierda a derecha las sierras que se ven son El Nacedero, La Garganta y Quintana.



F.2 Px-9711 Secuencias de Bouma Ta-d (parte superior) y Tc-e (parte inferior) de las rocas turbidíticas precámbricas del valle de Cereceda.



F.3 Px-9712 Detalle de secuencias Tc-d de las turbiditas precámbricas del valle de Cereceda.



F.4 Px-9713 Aspecto del conglomerado basal de la Formación de Base al pie del cerro Abulagoso.



F.5 Px-9714 Aspecto de los conglomerados de la parte inferior de la Formación de Base. Falda meridional del cerro Abulagoso.



F.6 Px-9715 Cuarzoarenitas con abundantes skolitos del techo de la Formación de Base. Camino de la Fuente del Almirez al cerro Abulagoso.

F.7 Px-9716 Aspecto general de un afloramiento de la Cuarcita
Armoricana en la Falda septentrional del cerro Abulagoso.





F.8 Px-9717 Afloramiento de los paquetes basales de ortocuarцитas de la formación Cuarcita Armoricana en el cerro Abulagoso.



F.9 Px-9718 Aspecto general de la parte superior de la Cuarcita
Armoricana en el paraje de Peña Escrita.



F.10 Px-9719 Afloramiento de los Estratos Pochico en el camino de la Fuente del Almirez a Ventillas.



F.11 Px-9720 Aspecto de los paquetes basales de los Estratos Pochico cerca de la Fuente del Almirez.



F.12 Px-9721. Laminación cruzada de bajo ángulo producida por ripples de oscilación en los Estratos Pochico. Ladera meridional de la Sierra de Navalmanzano.



F.13 Px-9722 Paquete ortocuarцитico con bioturbación producida por skolitos en los Estratos Pochico. Fuente del Almirez.

F.14 Rx-9723 Aspecto general de un afloramiento de los Esquistos de Río con nódulos arenó-ferruginosos. Carretera de Peña Escrita.



F.15 Px-9724 Aspecto de las facies de alternancias de areniscas y
pizarras en los Esquistos de Río, Arroyo del Puerto.





FIG-9725 Afloramiento del tramo arenoso inferior y parte del pizarroso de la Formación Canteras en la carretera N-420.



F.17 Px-9726 Aspecto del tramo arenoso superior de la Formación
Canteras en la carretera N-420. Aprecíense los ripples
existentes sobre las superficies de estratificación.



F.18 Px-9727 Sección transversal de las alternancias del tramo arenoso superior de la Formación Canteres. Corte de la carretera N-420.



F.19 Px-9728 Afloramiento del tramo ortocuarcítico superior ("Cuarcita de Canteras") de la Formación Canteras en la carretera N-420.



F.20 Px.9729 Aspecto de las facies pizarrosas de los Bancos Mixtos
Carretera N-420.



F.21 Px-9730 Afloramiento de las facies de alternancias arenoso-pizarrosas de los Bancos Mixtos. Corte de carretera N-420.



F.22 Px-9731 Detalle del afloramiento del paquete carbonatado terminal de los Bancos Mixtos cerca del río Navalajeta.



F.23 Rx-9732 Aspecto general del afloramiento de los Esquistos Chavera en el río Navalajeta.



F.24 Px-4733 Afloramiento de la Cuarcita del Criadero en el río Pradillo.



F.25 Px-9734 Afloramiento de la Cuarcita del Criadero en la zona meridional del cerro Juan de Arma.

F-26 Px-9735 Aspecto general del afloramiento de las pizarras ampolíticas de las Alternancias volcanosedimentarias parcialmente meteorizadas en el arroyo de los Lamederos.





F.27 Px-9736 Afloramiento de ortocuarcitas de la Cuarcita de Base devónica en la trinchera del Tren de Alta Velocidad.



F.28 Px-9737 Aspecto del afloramiento de las facies de alternancias de la Cuarcita de Base devónica en la trinchera del Tren de Alta Velocidad.



F-29 Px-9738. Aspecto general de un afloramiento de facies de pizarras masivas del Culm en la carretera N-420.



F.30 Px-9739 Facies pizarrosas del Culm en el arroyo de Tiro de Barra.



F.31 Px-9740 Aspecto de las facies de alternancias centimétricas del Culm en el arroyo de Los Términos.



F.32 Px 9741 Alternancias de grauwacas y pizarras del Culm en el arroyo de los Lamederos.



F.33 Px 9742. Ripples de oscilación? y estratificaciones flaser y lenticular en las alternacias grauwáquico-pizarrosas del Culm. Carretera N-420.



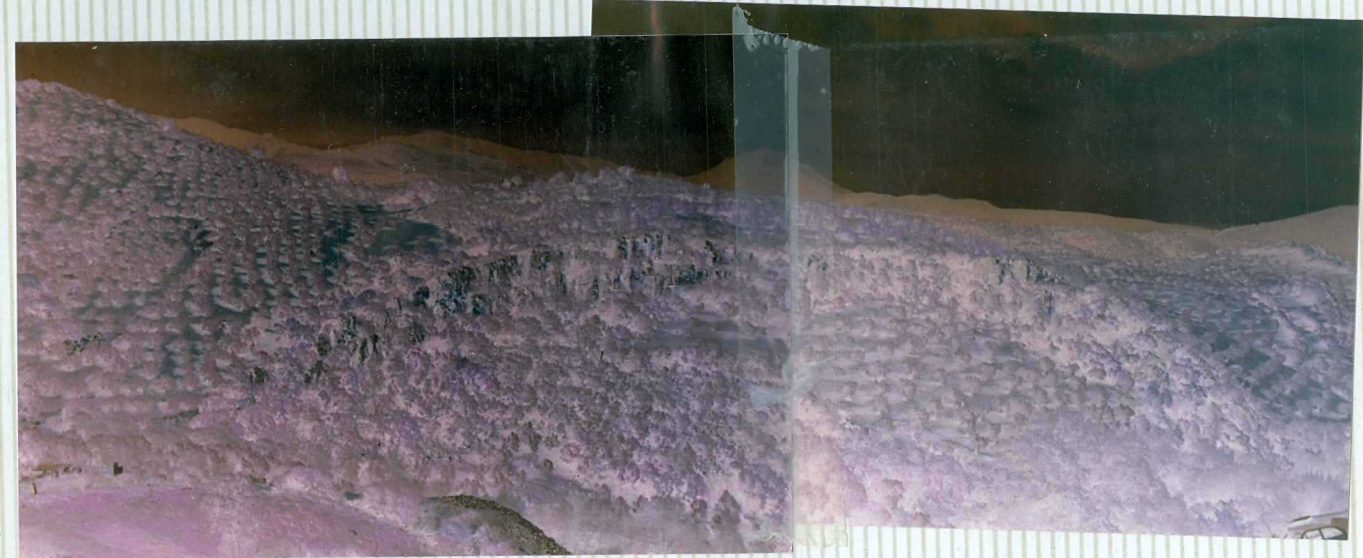
F.34 Px-9743 Grauwacas microconglomeráticas con cantos dispersos en el Culm de la zona de la ermita de San Gregorio.



F.35 Px-9744 Conglomerados polimicticos con abundantes lpidas en el Culm del arroyo del Barranco de la Piedras.



F.36 Px-9745 Aspecto de la raña en la carretera de subida a Peña escrita.



F.37 Px-9746 Anticlinal de la fase hercínica en las Formación Canteras. Río Pradillo junto a la población de Fuencaliente. (P16-1)



F.38 Px-9747 Pliegue de la fase hercinica en el los materiales del Culm. Arroyo de los Términos. (P6-2)



F.39 Px-974B Plegue de Flanco ("drag fold") de la fase hercínica en los Estratos Pochico. Falda meridional de la sierra de Hornilleros.



F.40 Px-9749 Pliegue con eje vertical de la fase hercínica desarrollado en las alternancias grauwâquico-pizarrosas precámbricas. Río Valmayor.



E41 Px-9750 Plegue con eje subhorizontal de la fase hercínica en los materiales precámbricos del arroyo de Navaloscorchos.



F42 Px-9751 Desigual desarrollo de la esquistosidad hercínica S1 en las alternancias pizarroso-arenosas. Valle de Cereceda.



F.43 Px-9752 Falla directa longitudinal a las estructuras formada probablemente al final de la fase hercínica. paraje de las Lastras, río Cereceda.



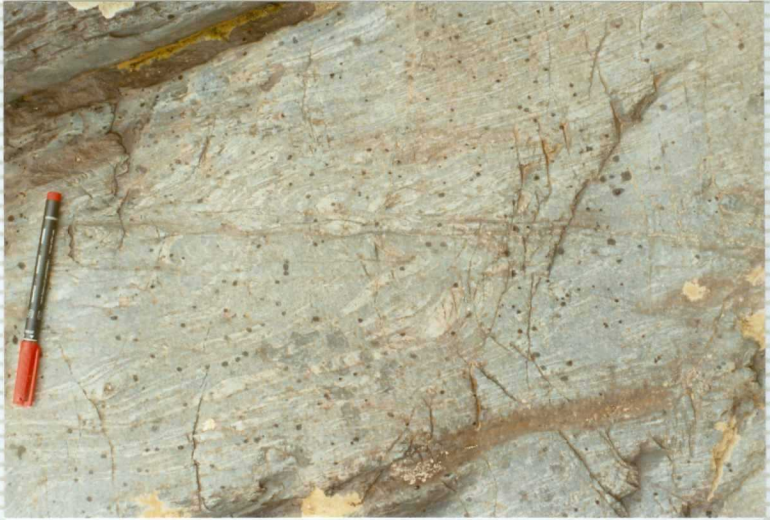
F.44 Px-9753 Vista del frente de la Falla de Fuencaliente desde el cerro Abulagoso. Las elevaciones del fondo constituyen el bloque occidental de la falla, mientras que el valle por el que discurre el río Pradillo es el bloque oriental.



F.45 Px-9754 Vista del cerro Bañuela cortado por la Falla de Valmayor. El cerro constituye en bloque meridional de dicha falla, la cual pone en contacto la Cuarcita Americana con los Esquistos de Río que forman la depresión de enfrente.



F. 46 Px-9755 Pliegue de geometría cónica y eje curvado producido por replegamiento en la 2a fase hercínica de estructuras generadas en la 1a fase. Formación Canteras en el camino de La Garganta a Puertollano. (P:6-3)



F.47 Px-9756 Pequeñas cizallas dúctiles longitudinales a los pliegues hercínicos desarrolladas en los materiales metamórficos del contacto con el granito de Los Pedroches. Su origen debe estar producido por reaplastamiento en condiciones mas plásticas durante la intrusión de las rocas ígneas. Arrozo de Los Términos.



F.48 Px-9757 Kink-bands conjugados desarrollados en las pizarras bien esquistosadas del Culm. Carretera N-420. (PI6-4)



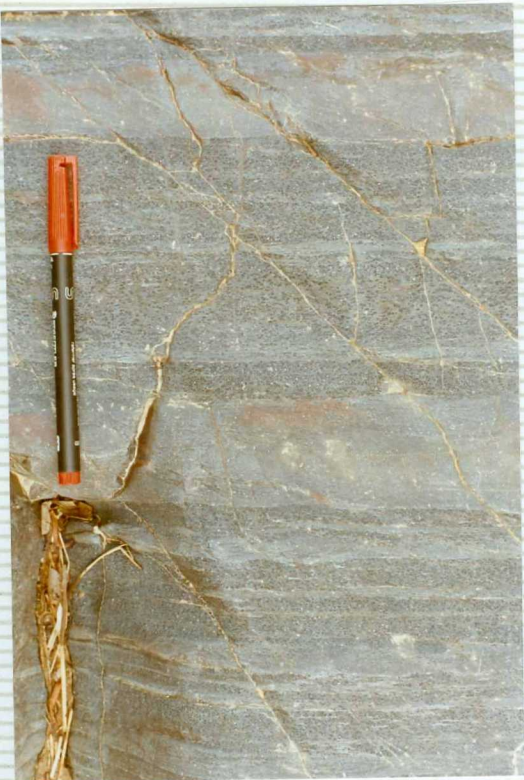
F.49 Px-9750 Pliegues de plano axial subhorizontal desarrollado en alternancias grauwâquico-pizarrosas del Culm. Carretera N-420.



F.50 Px-9759 Dique subvolcánico encajado en la Formación Canteras
Carretera N-420.



F.51 Px-9760 Pequeño stock de rocas básicas encajado en las pizarras del Culm. Carretera N-420.



F.52 Px-9761 Alternancias de pizarras mosqueadas y matacuarcitas de la aureola de metamorfismo de contacto del granito de los Pedroches. Arroyo de Los Términos.